

# Tworzenie i optymalizacja filtrów IIR

## Raport 2 (12.11.2016)

Uniwersytet Jagielloński – Zakład Fotoniki

### 1 Wstęp

#### 1.1 Metoda tworzenia filtrów IIR

Najpopularniejszą metodą tworzenia filtrów cyfrowych ze sprzężeniem zwrotnym (Infinite Impulse Response – IIR) jest metoda polegająca na stworzeniu wpierw ich analogowych prototypów, a następnie przejściu (za pomocą transformaty biliniowej) do ich cyfrowych odpowiedników.

Wśród powszechnie znanych typów filtrów analogowych znajdują się:

- filtry Butterworth’a
- filtry Czebyszewa I/II
- filtry Eliptyczne

#### 1.2 Badanie stabilności filtrów - porównanie filtrów analogowych i cyfrowych

Układ analogowy jest stabilny, jeżeli bieguny jego transmitancji leżą w lewej półpłaszczyźnie płaszczyzny zespolonej.

Układ dyskretny jest stabilny, jeżeli bieguny jego transmitancji leżą wewnątrz okręgu jednostkowego na płaszczyźnie zespolonej.

Dla układu analogowego osią częstotliwości jest oś urojona  $s = j\omega$ .

Dla układu dyskretnego częstotliwość zmienia się po okręgu jednostkowym  $z = e^{j\Omega}$ .

W przypadku biegunów na osi (dla analogowych) lub na okręgu (dla dyskretnych) stabilność jest warunkowa, a układ odpowiada oscylacją.

## Część I

### 1 Projektowanie filtrów analogowych Butterwortha i Czebyszewa

Podczas projektowania korzystamy z oznaczeń przedstawionych na rysunku poniżej

- Częstotliwość końca pasma przepustowego ( $f_P$ ) w dB
- Największe dopuszczalne tłumienie w paśmie przepustowym ( $A_P$ ) dla filtra Czebyszewa ten parametr określa jednocześnie dopuszczalne zafalowanie charakterystyki amplitudowej w paśmie przepustowym (w kHz)
- Częstotliwość początku pasma zaporowego ( $f_R$ ) w dB
- Wymagane minimalne tłumienie w paśmie zaporowym ( $A_R$ ) (w kHz)

```
Ap = 0.5;
fp = 3;
Ar = 20;
fr = 7;
```

## 1.1 Obliczenie rzędu filtra

### 1.1.1 Współczynnik selektywności k

$$k = \frac{f_P}{f_R}$$

```
k[fp_, fr_] := fp/fr;
```

### 1.1.2 Współczynnik dyskryminacji d

$$d = \sqrt{\frac{10^{0.1 A_P} - 1}{10^{0.1 A_R} - 1}}$$

```
d[Ap_, Ar_] := Sqrt[
  (10^(0.1 Ap) - 1) /
  (10^(0.1 Ar) - 1)];
```

Rząd filtra Butterwortha oblicza się ze współczynników k i d

$$n = \frac{|\log d|}{|\log k|} \quad (1.1)$$

```
nbutt[d_, k_] := Abs[Log[d]] / Abs[Log[k]];
```

```
nb = nbutt[d[Ap, Ar], k[fp, fr]]
```

```
3.95298
```

Rząd filtra Czebyszewa określa się z podobnego wzoru:

$$n = \frac{\operatorname{arc\,cosh}\left(\frac{1}{d}\right)}{\operatorname{arc\,cosh}\left(\frac{1}{k}\right)} \quad (1.2)$$

```
nczeb[d_, k_] := ArcCos[1/d] / ArcCos[1/k];
```

```
nc = nczeb[d[Ap, Ar], k[fp, fr]]
```

```
2.71107 + 0. i
```

Rząd filtru nie może być ułamkowy, więc zaokrąglamy w górę.

```
nb = Ceiling[nb]
```

```
nc = Ceiling[nc]
```

```
4
```

```
3
```

Rząd filtru Czebyszewa będzie zawsze mniejszy lub równy rzędowi filtru Butterwortha.

## 1.2 Częstotliwość graniczna

W dolnoprzepustowym filtrze Czebyszewa jest to częstotliwość, dla której tłumienie filtru nie przekracza założonych zafalowań charakterystyki. A więc po prostu  $f_P$

$$f_g = f_P \quad (1.3)$$

```
fgc = fp;
```

Dla filtru Butterwortha, częstotliwość graniczna to taka dla której następuje spadek wzmocnienia o 3 dB względem sygnału stałego (o częstotliwości 0). Jest ona większa od  $f_P$  jeżeli  $A_P$  jest mniejsze niż 3 dB.

Można ją określić ze wzoru

$$f_g = \frac{f_P}{(10^{0.1 A_P} - 1)^{\frac{1}{2n}}} \quad (1.4)$$

```
fg[fp_, Ap_, n_] := fp / (100.1 Ap - 1)1/(2 n);
```

```
fgb = fg[fp, Ap, 4]
```

```
3.90228
```

## 1.3 Filtr prototypowy

Definicja  
n 1.1

---

Filtr prototypowy  $\equiv$  filtr analogowy którego częstotliwość graniczna wynosi 1 Hz.

## 1.3.1 Butterworth

Kwadrat charakterystyki amplitudowej definiuje się następująco

$$|H(j\omega)|^2 = \frac{1}{1 + (j\omega / j\omega_{3\text{dB}})^{2N}} \quad (1.5)$$

$$|H(j\omega)| = \sqrt{\frac{1}{1 + (j\omega / j\omega_{3\text{dB}})^{2N}}} \quad (1.6)$$

gdzie  $\omega_{3\text{dB}}$  jest pulsacją, dla której charakterystyka amplitudowa opada do poziomu  $\frac{1}{\sqrt{2}}$  (3 dB w skali decybelowej  $20 \log_{10}(1 / \sqrt{2}) = -3 \text{ dB}$ ). Rozważając zera mianownika:

$$1 + (s / j\omega_{3\text{dB}})^{2N} = 0$$

Otrzymujemy bieguny transmitancji filtra Butterwortha:

```
sol = Solve[1 + (s / (i ω))2 NN == 0 && NN > 0, s, Complexes]
```

```
{ {s -> ConditionalExpression[i ei (π+2 π C[1]) / (2 NN) ω, (C[1] ∈ Integers && -1 + 2 NN - 2 C[1] ≥ 0 && C[1] ≥ 0) | |  
(C[1] ∈ Integers && C[1] ≤ -1 && 1 + 2 NN + 2 C[1] > 0) ] }
```

```
sol[[1, 1, 2, 1]]
```

```
i ei (π+2 π C[1]) / (2 NN) ω
```

$$\omega_{3\text{dB}} e^{j(\pi/(2N))(2k+N-1)} \quad (1.7)$$

Do filtra wybieramy tylko te znajdujące się w lewej półpłaszczyźnie

```
roots[k_, N_] := Exp[i (π / (2 N)) (2 k + N - 1)];
```

```
NN = 2;
```

```
rootsbutt = N@Table[roots[i, NN], {i, 0, NN}];
```

```
selrootbutt = s - Select[rootsbutt, Re[#] <= 0 &];
```

```
1/Times[selrootbutt /. {List -> Sequence}]
```

$$\frac{1}{((0.707107 - 0.707107 i) + s) ((0.707107 + 0.707107 i) + s)}$$

Z równania (1.6) otrzymujemy:

$$20 \log_{10}\left(1 / \sqrt{1 + (\omega_p / \omega_{3\text{dB}})^{2N}}\right) = -A_P \quad (1.8)$$

$$20 \log_{10}\left(1 / \sqrt{1 + (\omega_s / \omega_{3\text{dB}})^{2N}}\right) = -A_R \quad (1.9)$$

Skład rząd filtru:

$$N = \frac{1}{2} \log_{10} \left( \frac{10^{A_P/10} - 1}{10^{A_R/10} - 1} \right) / \log_{10} \left( \frac{\omega_p}{\omega_s} \right) \quad (1.10)$$

$$\omega_{3dB} = \frac{\omega_{\text{pass}}}{(10^{A_P/10} - 1)^{1/(2N)}} \quad (1.11)$$

#### 1.4 Całość dla filtru Butterworth

**Ap = 0.5;**

**fp = 3;**

**As = 20;**

**fs = 7;**

**NButterworth[Ap\_, As\_, fp\_, fs\_] := Ceiling[ $\frac{1}{2} \text{Log10}[\frac{10^{Ap/10} - 1}{10^{As/10} - 1}] / \text{Log10}[fp / fs]$ ];**

**f3dB[fp\_, Ap\_, NN\_] :=  $\frac{fp}{(10^{Ap/10} - 1)^{1/(2NN)}}$ ; (\*\*pulsacja\*\*)**

**NN = NButterworth[Ap, As, fp, fs]**

**f3dB[fp, Ap, NN]**

**4**

**3.90228**

**roots[k\_, N\_] := f3dB[fp, Ap, NN] Exp[ $\pm (\pi / (2N)) (2k + N - 1)$ ];**

**rootsbutt = N@Table[roots[i, NN], {i, 0, NN}];**

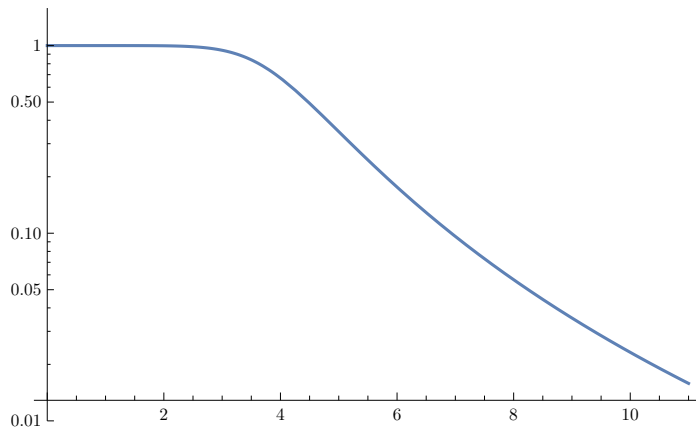
**selrootbutt = s - Select[rootsbutt, Re[#] <= 0 &];**

**ButterworthFilter[ $\omega$ ] := f3dB[fp, Ap, NN]<sup>NN</sup> / Times[selrootbutt /. {List → Sequence}] /. {s →  $\pm \omega$ }**

**ButterworthFilter[ $\omega$ ]**

**LogPlot[Abs[ButterworthFilter[ $\omega$ ]], { $\omega$ , 0, 11}, PlotRange → Full]**

**231.885 / (( $(1.49334 - 3.60523 i) + i \omega$ ) ( $(1.49334 + 3.60523 i) + i \omega$ ) ( $(3.60523 - 1.49334 i) + i \omega$ ) ( $(3.60523 + 1.49334 i) + i \omega$ ))**



## 1.5 Filtr Czebyszewa

$$|H(j\omega)|^2 = \frac{1}{1 + \epsilon^2 V_N^2(i\omega / i\omega_{3dB})} \quad (1.12)$$

Gdzie

$$V_N(x) = \begin{cases} \cos(N \arccos(x)) & |x| \leq 1 \\ \cosh(N \operatorname{arccosh}(x)) & |x| > 1 \end{cases} \quad (1.13)$$

Jest to filtr I typu. Charakterystyka jest równomiernie falista w paśmie przepustowym.

Amplituda zafalowania jest regulowana parametrem  $\epsilon$ .

W paśmie zaporowym charakterystyka opada monotonicznie

Dla filtra typu II jest odwrotnie. Charakterystyka jest płaska w paśmie przepustowym i równomiernie falista w paśmie zaporowym.

Parametr  $\epsilon$  reguluje amplitudę zafalowania charakterystyki amplitudowej w paśmie zaporowym.

$$|H(j\omega)|^2 = \frac{1}{1 + \frac{1}{\epsilon^2 V_N^2(i\omega_{3dB}/i\omega)}} \quad (1.14)$$

## 1.6 Filtr eliptyczny

Do aproksymacji idealnej, prostokątnej charakterystyki częstotliwościowej w przypadku filtra eliptycznego stosuje się eliptyczną funkcję Jacobiego.

Charakterystyka amplitudowa filtra eliptycznego jest równomiernie falista w paśmie przepustowym i zaporowym. Filtr eliptyczny opisują 4 parametry:  $N$  – rząd filtra,  $\omega$  - krawędź pasma przepustowego,  $A_P$  oraz  $A_R$ .

## 1.7 Transformacja częstotliwości

Po zaprojektowaniu analogowego filtra dolnoprzepustowego możemy utworzyć inne filtry korzystając z następującej tabeli:

$$\begin{array}{ll} \text{Low pass} & s' = s / \omega_0 \\ \text{High pass} & s' = \omega_0 / s \\ \text{Band pass} & s' = \frac{\omega_0}{\Delta\omega} \frac{(s/\omega_0)^2 + 1}{s/\omega_0} \\ \text{Band stop} & s' = \frac{\Delta\omega}{\omega_0} \frac{s/\omega_0}{(s/\omega_0)^2 + 1} \end{array}$$

where  $\Delta\omega = \omega_2 - \omega_1$  and  $\omega_0 = \sqrt{\omega_1 \omega_2}$

## 2 Przykładowy projekt filtra dolnoprzepustowego

Zakładamy wartości parametrów filtra:

- częstotliwość próbkowania  $f_{pr} = 100$  Hz

- krawędź pasma przepustowego  $f_1 = 20$  Hz
- krawędź pasma zaporowego  $f_2 = 25$  Hz
- nieliniowość charakterystyki w paśmie przepustowym  $A_p = 3$  dB
- nieliniowość charakterystyki w paśmie zaporowym  $A_s = 30$  dB

Przeliczenie częstotliwości filtra cyfrowego  $f_1$  i  $f_2$  na pulsację  $\Omega$  w radianach:

$$\Omega_1 = 2\pi \frac{f_1}{f_{pr}} = 2\pi \frac{20}{100} = 1.2566 \text{ rad}$$

$$\Omega_2 = 2\pi \frac{f_2}{f_{pr}} = 2\pi \frac{25}{100} = 1.5708 \text{ rad}$$

```
A1 = 3;
f1 = 20;
A2 = 30;
f2 = 25;
fp = 100;
```

```
Ω1 = N@2 π f1
fp
Ω2 = N@2 π f2
fp
```

```
1.25664
```

```
1.5708
```

## 2.1 Krawędź pasma filtra analogowego

$$\omega_1 = \frac{2}{2\Delta t} \tan(\Omega_1/2) = \frac{2}{1/100} \tan(1.2566/2) = 145.3085 \text{ rad/s}$$

$$\omega_2 = 200 \text{ rad/s}$$

$$\omega_1 = \frac{2}{1/f_p} \tan[\Omega_1/2]$$

$$\omega_2 = \frac{2}{1/f_p} \tan[\Omega_2/2]$$

$$fa1 = \frac{1}{2\pi} \omega_1;$$

$$fa2 = \frac{1}{2\pi} \omega_2;$$

```
145.309
```

```
200.
```

## 2.2 Określenie parametrów filtra analogowego na podstawie podanych wymagań

$$\text{NButterworth}[Ap_, As_, fp_, fs_] := \text{Ceiling}\left[\frac{1}{2} \text{Log10}\left[\frac{10^{Ap/10} - 1}{10^{As/10} - 1}\right] / \text{Log10}[fp/fs]\right];$$

```

f3dB[fp_, Ap_, NN_] :=  $\frac{fp}{(10^{Ap/10} - 1)^{1/(2 NN)}}$ ; (**pulsacja**)

NN = NButterworth[A1, A2, fa1, fa2]
N@f3dB[ω1, A1, NN]

11

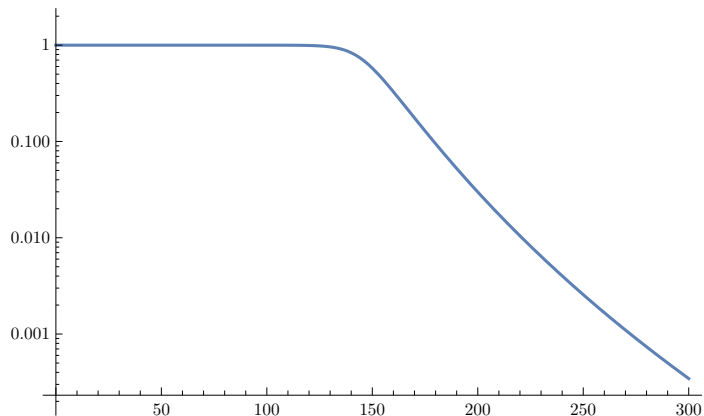
145.34

roots[k_, N_] := f3dB[ω1, A1, NN] Exp[ $i (\pi / (2 N)) (2 k + N - 1)$ ];
rootsbutt = N@Table[roots[i, NN], {i, 0, NN}];
selrootbutt = s - Select[rootsbutt, Re[#] <= 0 &];
ButterworthFilter[ω_] := f3dB[ω1, A1, NN]^NN / Times[selrootbutt /. {List → Sequence}]

```

### 2.3 Filtr analogowy

```
LogPlot[{Abs[ButterworthFilter[s] /. {s →  $i \omega$ }]}, {ω, 0, 300}, PlotRange → Full]
```

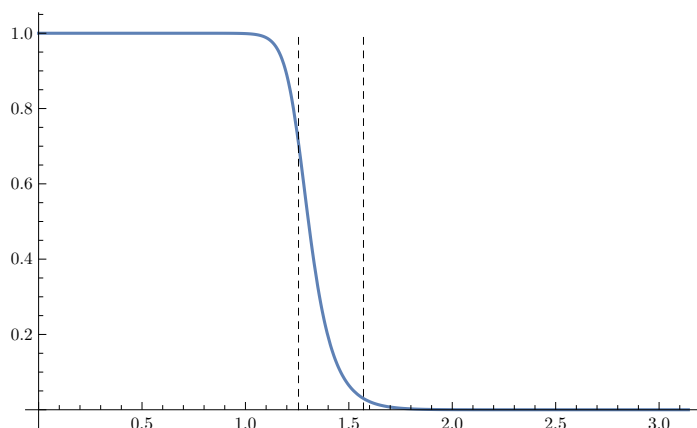


### 2.4 Przejście na filtr cyfrowy (w dziedzinie pulsacji/częstości)

```

Plot[Abs[ButterworthFilter[s] /. {s → 2 fp  $\frac{1 - z^{-1}}{1 + z^{-1}}$ } /. {z →  $e^{i\Omega}$ }], {Ω, 0, π}, PlotRange → Full,
  Epilog → {Dashing[0.01], Line[{Ω1, 0}, {Ω1, 1}], Line[{Ω2, 0}, {Ω2, 1}]}]

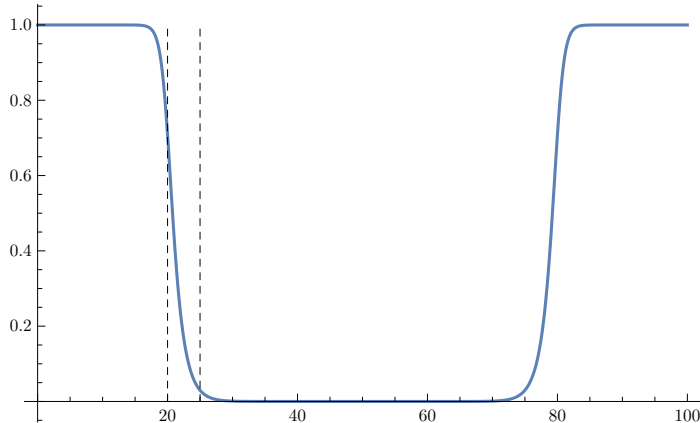
```





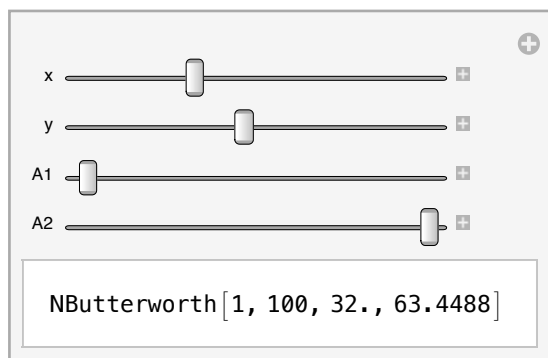
## 2.5 Filtr cyfrowy w dziedzinie częstotliwości

```
Plot[Abs[ButterworthFilter[s] /. {s → 2 fp  $\frac{1 - z^{-1}}{1 + z^{-1}}$ } /. {z → eiΩ} /. {Ω → f (2 π) / fp}],
{f, 0, 100}, PlotRange → Full,
Epilog → {Dashing[0.01], Line[{{f1, 0}, {f1, 1}}], Line[{{f2, 0}, {f2, 1}}]}]
```



## 3 Badanie reakcji filtru Butterworth na zmianę częstotliwości odcięcia

```
Manipulate[NButterworth[A1, A2, x, y], {x, 0, 100}, {y, x, 100}, {A1, 0, 100, 1},
{A2, 0, 100, 1}]
```



Obserwacja: im częstotliwości bliższe sobie, a za tem im bardziej stromy filtr tym wyższy rząd filtru Butterworth'a jest wymagany.

Oprócz tego dla:

(2.2, 2.3) →  $N = 78$

(22.2, 22.3) →  $N = 769$

(82.2, 82.3) →  $N = 2843$

a więc rząd filtru rośnie także z częstotliwością przy stałej różnicy  $f_2 - f_1$ .

# Cześć II

## 1 Badanie błędów dyskretyzacji filtrów cyfrowych

### 1.1 Definicje

```
In[9]:= Δω = 0.3;
ωmin = 0.1;
ωmax = 1.5;
bity = 6;
```

#### 1.1.1 Funkcje dyskretyzujące

```
In[13]:= DiscretizeList[x_, max_, bits_] :=
  If[ # ≥ 0, 1, -1] Round[(Abs[#] / max) (Power[2, bits - 1] - 1)] max / (Power[2, bits - 1] - 1) & /@ x;
DiscretizeComplexList[x_, y_, bits_] := Module[{xD, yD, coeffD, max},
  If[y == {}, {},
    max = Max[Abs[Join[Re@x, Im@x, Re@y, Im@y]]];
    xD = DiscretizeList[Re@x, max, bits] + i DiscretizeList[Im@x, max, bits];
    yD = DiscretizeList[Re@y, max, bits] + i DiscretizeList[Im@y, max, bits];
    {xD, yD}
  ];
DiscretizeModelCoeffs[tf_, bits_] := Module[{zeros, poles, zerosD, polesD},
  zeros = CoefficientList[Numerator[TransferFunctionExpand[tf][z]][[1, 1]], z];
  poles = CoefficientList[Denominator[TransferFunctionExpand[tf][z]][[1, 1]], z];
  {zerosD, polesD} = DiscretizeComplexList[zeros, poles, bits];
  Chop[FromDigits[Reverse[zerosD], z] / (FromDigits[Reverse[polesD], z])]
];
```

#### 1.1.2 Funkcja błędu

```
CalcError[filtr_, filtrD_] :=
  Sqrt[NIntegrate[Abs[filtr - filtrD]^2, {Ω, 0, π}, AccuracyGoal → 5, MaxRecursion → 20] /
    NIntegrate[Abs[filtr]^2, {Ω, 0, π}, AccuracyGoal → 5, MaxRecursion → 20]];
```

Szybsza wersja:

```
In[16]:= CalcError[filtr_, filtrD_] :=
  Sqrt[Total[Abs[Table[filtr, {Ω, 0, π, 0.001}]] - Table[filtrD, {Ω, 0, π, 0.001}]]^2] /
    Total[Abs[Table[filtr, {Ω, 0, π, 0.001}]]^2];
```

## 1.2 Ustalenie postaci filtrów cyfrowych

Poniżej znajdują się definicje filtrów analogowych i ich cyfrowych odpowiedników w postaci tabel dla rzędu  $N=\{1,2,\dots,7\}$  oraz częstości  $\omega=\{\omega_{\min}, \omega_{\max}, \Delta\omega\}$

### 1.2.1 Butterworth

```
In[17]:= bmodels = Table[{n,  $\omega$ , TransferFunctionFactor@ButterworthFilterModel[{"Lowpass", n,  $\omega$ , s]},
  {n, 1, 7, 1}, { $\omega$ ,  $\omega_{\min}$ ,  $\omega_{\max}$ ,  $\Delta\omega$ }}];
DGbmodels =
  Table[
    {n,  $\omega$ , TransferFunctionFactor@
      ToDiscreteTimeModel[ButterworthFilterModel[{"Lowpass", n,  $\omega$ , s], 1]}, {n, 1, 7, 1},
    { $\omega$ ,  $\omega_{\min}$ ,  $\omega_{\max}$ ,  $\Delta\omega$ }}];
```

### 1.2.2 Chebyshev 1

```
In[52]:= c1models = Table[{n,  $\omega$ , TransferFunctionFactor@Chebyshev1FilterModel[{"Lowpass", n,  $\omega$ , s]},
  {n, 1, 7, 1}, { $\omega$ ,  $\omega_{\min}$ ,  $\omega_{\max}$ ,  $\Delta\omega$ }}];
DGc1models =
  Table[
    {n,  $\omega$ , TransferFunctionFactor@
      ToDiscreteTimeModel[Chebyshev1FilterModel[{"Lowpass", n,  $\omega$ , s], 1]}, {n, 1, 7, 1},
    { $\omega$ ,  $\omega_{\min}$ ,  $\omega_{\max}$ ,  $\Delta\omega$ }}];
```

### 1.2.3 Chebyshev 2

```
In[54]:= c2models = Table[{n,  $\omega$ , TransferFunctionFactor@Chebyshev2FilterModel[{n,  $\omega$ , s]},
  {n, 1, 7, 1}, { $\omega$ ,  $\omega_{\min}$ ,  $\omega_{\max}$ ,  $\Delta\omega$ }}];
DGc2models =
  Table[{n,  $\omega$ , TransferFunctionFactor@ToDiscreteTimeModel[Chebyshev2FilterModel[{n,  $\omega$ , s], 1]},
  {n, 1, 7, 1}, { $\omega$ ,  $\omega_{\min}$ ,  $\omega_{\max}$ ,  $\Delta\omega$ }}];
```

### 1.2.4 Elliptic

```
In[56]:= emodels = Table[{n,  $\omega$ , TransferFunctionFactor@EllipticFilterModel[{n,  $\omega$ , s]},
  {n, 1, 7, 1}, { $\omega$ ,  $\omega_{\min}$ ,  $\omega_{\max}$ ,  $\Delta\omega$ }}];
DGemodels =
  Table[{n,  $\omega$ , TransferFunctionFactor@ToDiscreteTimeModel[EllipticFilterModel[{n,  $\omega$ , s], 1]},
  {n, 1, 7, 1}, { $\omega$ ,  $\omega_{\min}$ ,  $\omega_{\max}$ ,  $\Delta\omega$ }}];
```

## 1.3 Dyskretyzacja

```
In[58]:= DGbmodelsDc2 = Map[{#[[1]], #[[2]], DiscretizeModelCoeffs[#[[3]], bity]} &, DGbmodels, {2}];
In[59]:= DGc1modelsDc2 = Map[{#[[1]], #[[2]], DiscretizeModelCoeffs[#[[3]], bity]} &, DGc1models, {2}];
In[60]:= DGc2modelsDc2 = Map[{#[[1]], #[[2]], DiscretizeModelCoeffs[#[[3]], bity]} &, DGc2models, {2}];
In[61]:= DGemodelsDc2 = Map[{#[[1]], #[[2]], DiscretizeModelCoeffs[#[[3]], bity]} &, DGemodels, {2}];
```

## 1.4 Wyniki

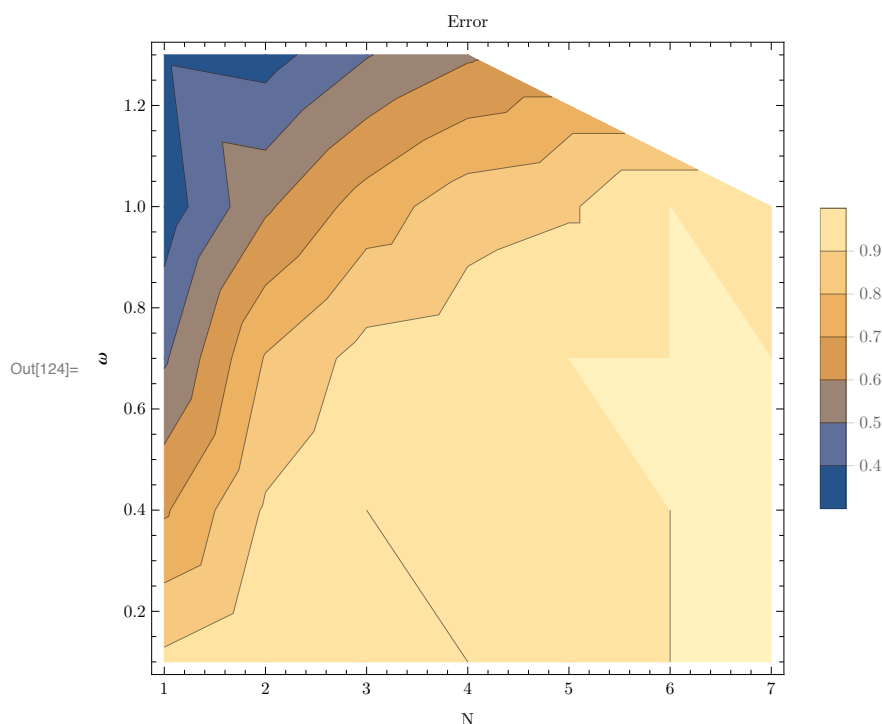
```
In[29]:= NicePlot[modelA_, modelB_, Nind_,  $\omega$ ind_] :=
  Plot[{Abs[modelA[[Nind,  $\omega$ ind]]][[3]][ei $\omega$ ]]2, Abs[(modelB[[Nind,  $\omega$ ind]]][[3]])2 /. {z -> ei $\omega$ }},
    { $\omega$ , 0,  $\pi$ }, AxesLabel -> { $\omega$ , None}, GridLines -> Automatic, AspectRatio -> 1/3,
    PlotRange -> Full, PlotLegends -> {"Przed dyskretyzacją", "Po dyskretyzacji"},
    PlotLabel -> "Przykładowy efekt dyskretyzacji dla N=" <> ToString[modelA[[Nind,  $\omega$ ind]]][[1]] <>
      ",  $\omega$ =" <> ToString[modelA[[Nind,  $\omega$ ind]]][[2]] <> " i " <> ToString[bity] <> " bitów"]
```

### 1.4.1 Butterworth

Funkcje błędu w zależności od rzędu filtra i częstotści granicznej:

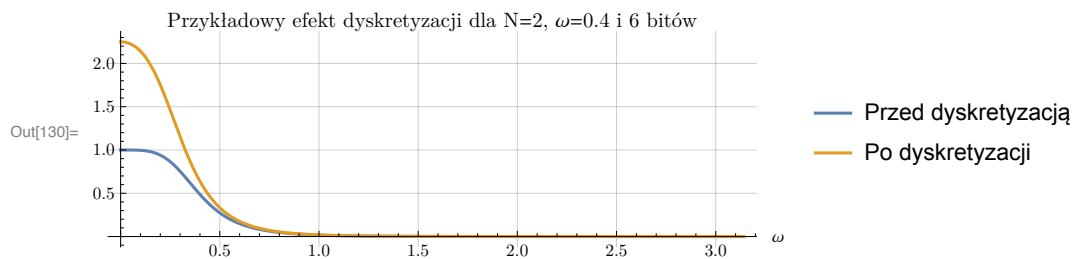
```
In[34]:= errors =
  Flatten[
    MapThread[
      {#1[[1]], #1[[2]], First@Flatten@CalcError[Abs@#1[[3]][ei $\Omega$ ], Abs@#2[[3]] /. {z -> I  $\Omega$ }}] &,
      {DGbmodels, DGbmodelsDc2}, 2], 1];
```

```
In[124]:= ListContourPlot[errors, FrameLabel -> {"N", " $\omega$ ", "Error"}, PlotRange -> Full,
  PlotLegends -> Automatic, LabelStyle -> Directive[Bold]]
```

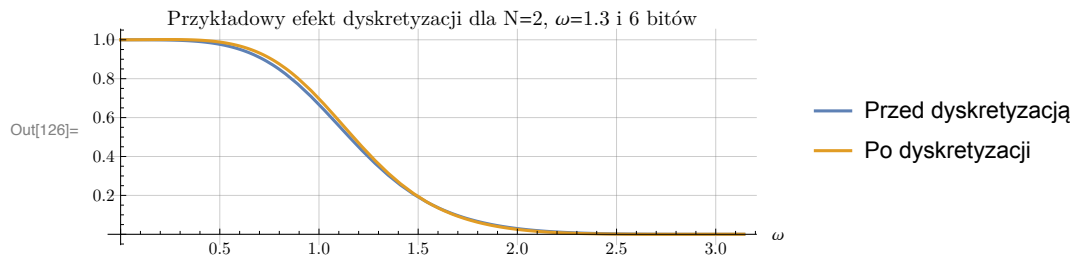


Poniżej dwa przykłady:

```
In[130]:= NicePlot[DGbmodels, DGbmodelsDc2, 2, 2]
```



```
In[126]:= NicePlot[DGbmodels, DGbmodelsDc2, 2, 5]
```

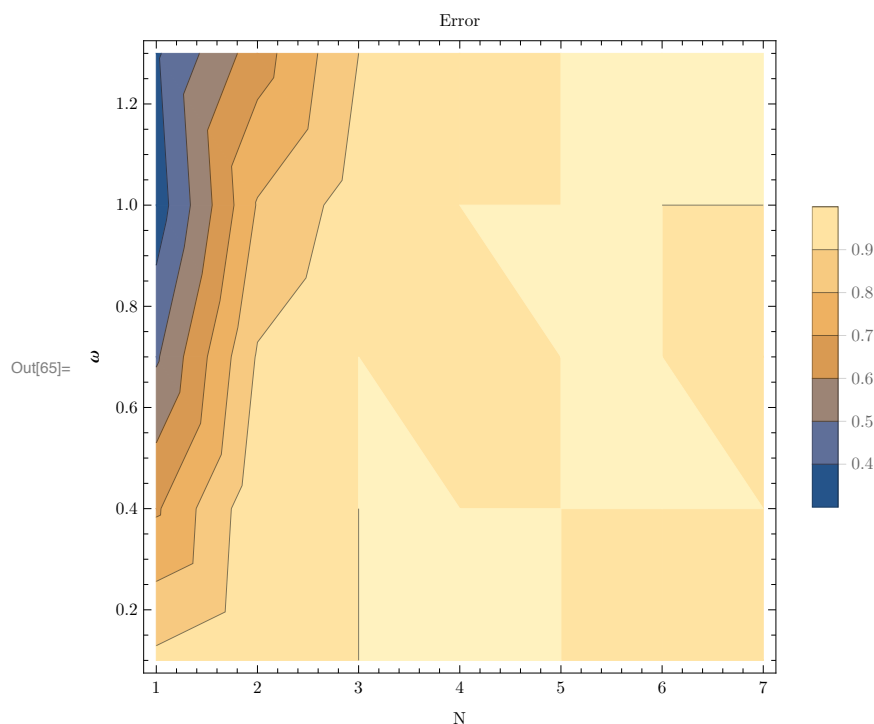


#### 1.4.2 Chebyshev 1

Funkcje błędu w zależności od rzędu filtra i częstości granicznej:

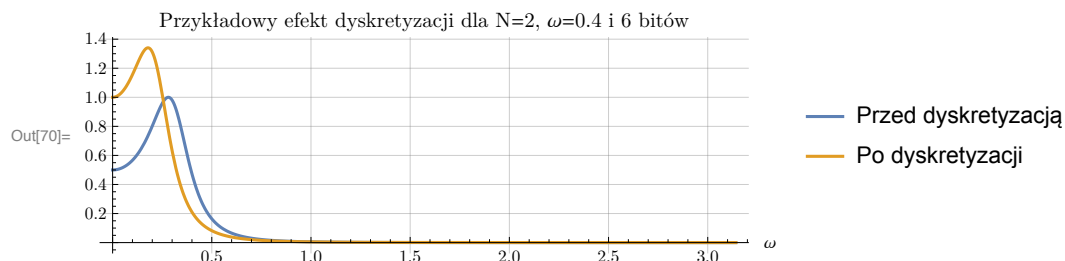
```
In[62]:= errors =
  Flatten[
    MapThread[
      {#1[[1]], #1[[2]], First@Flatten@CalcError[Abs[#1[[3]]][e±Ω], Abs[#2[[3]]] /. {z -> I Ω}}] &,
      {DGc1models, DGc1modelsDc2}, 2], 1];
```

```
In[65]:= ListContourPlot[errors, FrameLabel -> {"N", " $\omega$ ", "Error"}, PlotRange -> Full,
  PlotLegends -> Automatic, LabelStyle -> Directive[Bold]]
```

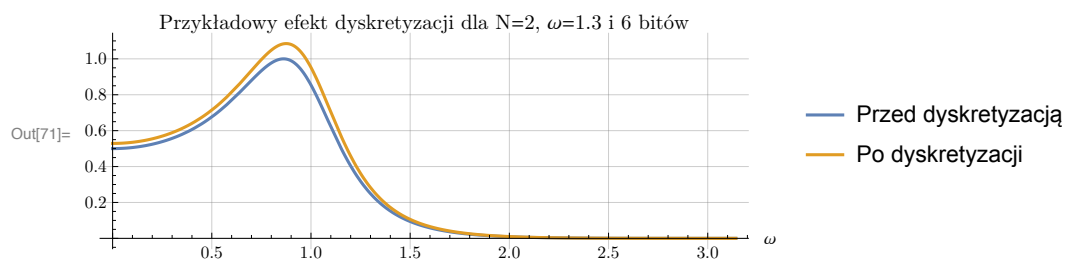


Poniżej dwa przykłady:

```
In[70]:= NicePlot[DGc1models, DGc1modelsDc2, 2, 2]
```



```
In[71]:= NicePlot[DGc1models, DGc1modelsDc2, 2, 5]
```



### 1.4.3 Chebyshev 2

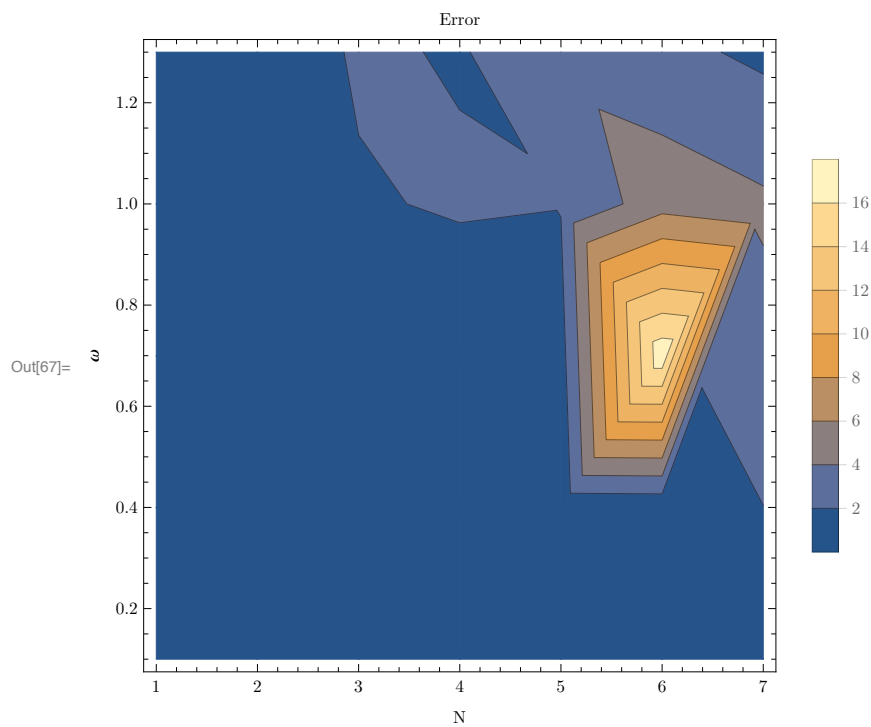
Funkcje błędu w zależności od rzędu filtra i częstotliwości granicznej:

```

In[74]:= errors =
  Flatten[
    MapThread[
      {#1[[1]], #1[[2]], First@Flatten@CalcError[Abs@#1[[3]][eiΩ], Abs@#2[[3]] /. {z -> I Ω}} &,
      {DGc2models, DGc2modelsDc2}, 2], 1];

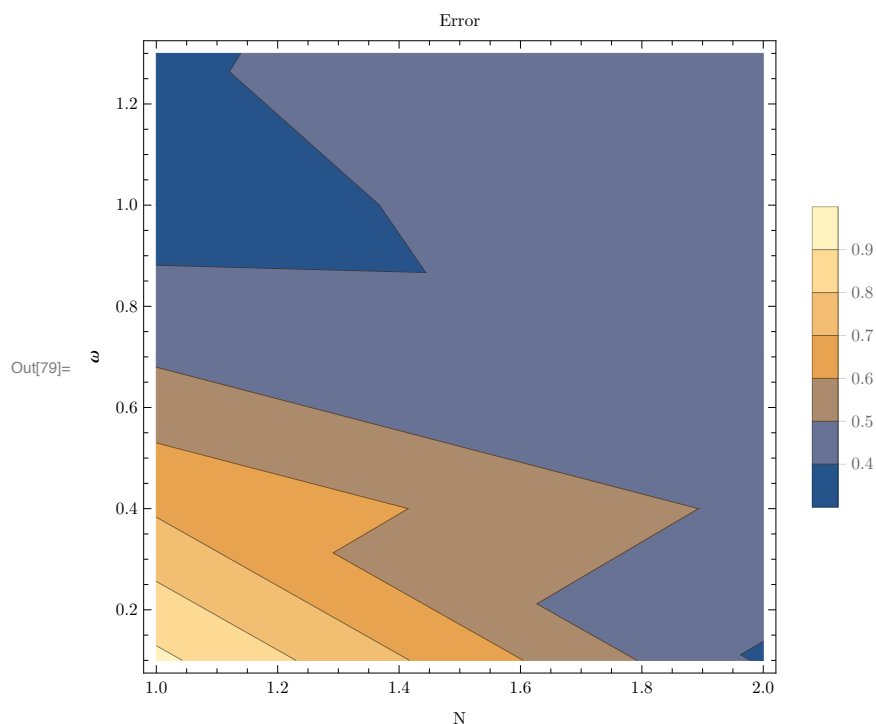
In[67]:= ListContourPlot[errors, FrameLabel -> {"N", "ω", "Error"}, PlotRange -> Full,
  PlotLegends -> Automatic, LabelStyle -> Directive[Bold]]

```



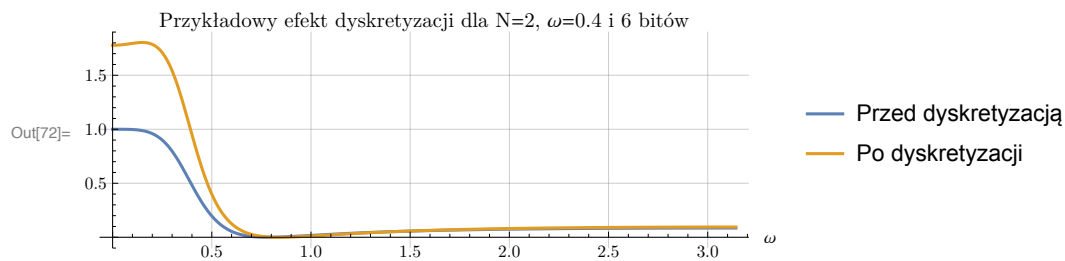
Powiększam fragment w okolicy małych częstości gdzie błędy są mniejsze od 1.

```
In[79]:= ListContourPlot[errors[[1 ;; 10]], FrameLabel -> {"N", " $\omega$ ", "Error"}, PlotRange -> Full,
PlotLegends -> Automatic, LabelStyle -> Directive[Bold]]
```

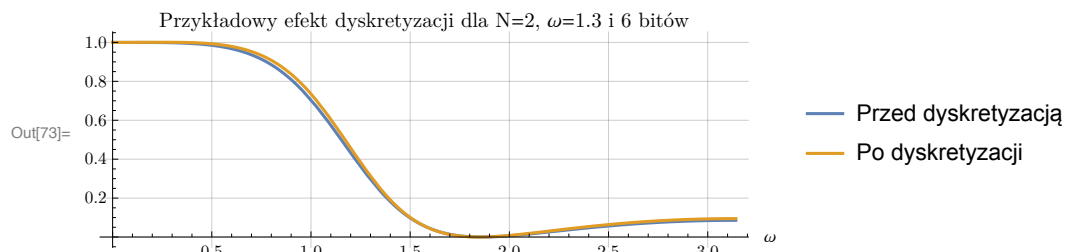


Poniżej dwa przykłady:

```
In[72]:= NicePlot[DGc2models, DGc2modelsDc2, 2, 2]
```



```
In[73]:= NicePlot[DGc2models, DGc2modelsDc2, 2, 5]
```



#### 1.4.4 Eliptic

Funkcje błędu w zależności od rzędu filtra i częstotści granicznej:

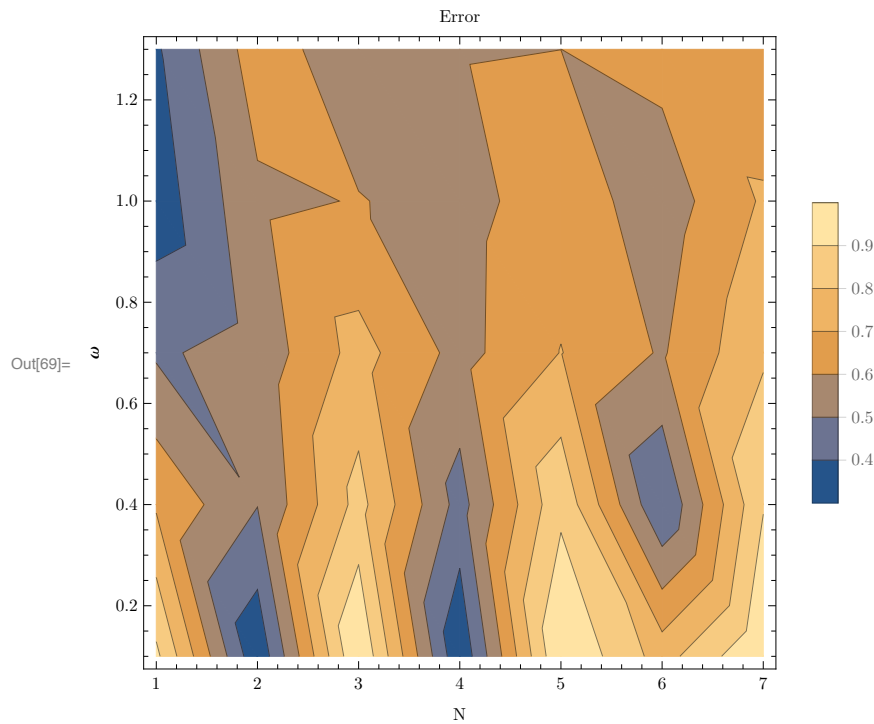


```

In[80]:= errors =
  Flatten[
    MapThread[
      {#1[[1]], #1[[2]], First@Flatten@CalcError[Abs@#1[[3]][eiΩ], Abs@#2[[3]] /. {z -> I Ω}} &,
      {DGeModels, DGeModelsDc2}, 2], 1];

In[69]:= ListContourPlot[errors, FrameLabel -> {"N", "ω", "Error"}, PlotRange -> Full,
  PlotLegends -> Automatic, LabelStyle -> Directive[Bold]]

```

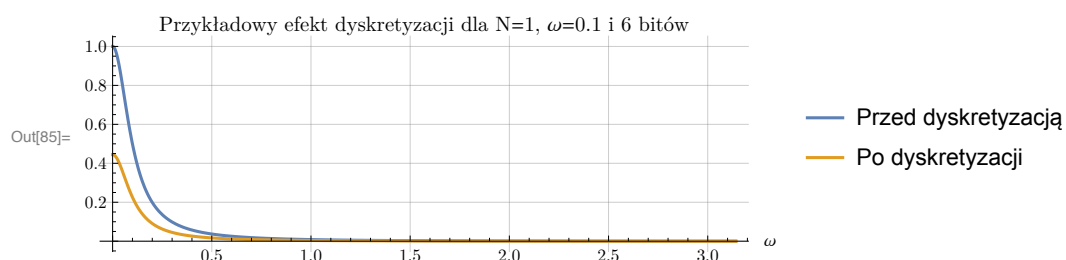


Poniżej dwa przykłady:

```

In[85]:= NicePlot[DGeModels, DGeModelsDc2, 1, 1]

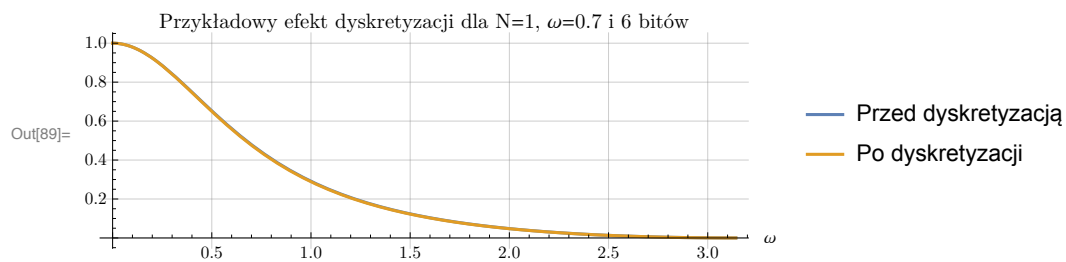
```



```

In[89]:= NicePlot[DGeModels, DGeModelsDc2, 1, 3]

```



## 2 Badanie stabilności dyskretyzowanych filtrów cyfrowych

### 2.1 Ustalenie postaci filtrów cyfrowych

Poniżej znajdują się definicje filtrów analogowych i ich cyfrowych odpowiedników w postaci tabel dla rzędu  $N=\{1,2,\dots,7\}$  oraz częstości  $\omega=\{\omega_{\min}, \omega_{\max}, \Delta\omega\}$

#### 2.1.1 Definicje

```
 $\Delta\omega = 0.3;$   
 $\omega_{\min} = 0.1;$   
 $\omega_{\max} = 2.0;$ 
```

#### 2.1.2 Butterworth

```
bmodels = Table[TransferFunctionFactor@ButterworthFilterModel[{"Lowpass", n,  $\omega$ }, s],  
  {n, 1, 7, 1}, { $\omega$ ,  $\omega_{\min}$ ,  $\omega_{\max}$ ,  $\Delta\omega$ }}];  
DGbmodels =  
  Table[TransferFunctionFactor@  
    ToDiscreteTimeModel[ButterworthFilterModel[{"Lowpass", n,  $\omega$ }, s], 1], {n, 1, 7, 1},  
    { $\omega$ ,  $\omega_{\min}$ ,  $\omega_{\max}$ ,  $\Delta\omega$ }}];
```

#### 2.1.3 Chebyshev 1

```
c1models = Table[TransferFunctionFactor@Chebyshev1FilterModel[{"Lowpass", n,  $\omega$ }, s],  
  {n, 1, 7, 1}, { $\omega$ ,  $\omega_{\min}$ ,  $\omega_{\max}$ ,  $\Delta\omega$ }}];  
DGc1models =  
  Table[TransferFunctionFactor@ToDiscreteTimeModel[Chebyshev1FilterModel[{"Lowpass", n,  $\omega$ }, s],  
    1], {n, 1, 7, 1}, { $\omega$ ,  $\omega_{\min}$ ,  $\omega_{\max}$ ,  $\Delta\omega$ }}];
```

#### 2.1.4 Chebyshev 2

```
c2models = Table[TransferFunctionFactor@Chebyshev2FilterModel[{n,  $\omega$ }, s], {n, 1, 7, 1},  
  { $\omega$ ,  $\omega_{\min}$ ,  $\omega_{\max}$ ,  $\Delta\omega$ }}];  
DGc2models =  
  Table[TransferFunctionFactor@ToDiscreteTimeModel[Chebyshev2FilterModel[{n,  $\omega$ }, s], 1],  
    {n, 1, 7, 1}, { $\omega$ ,  $\omega_{\min}$ ,  $\omega_{\max}$ ,  $\Delta\omega$ }}];
```

#### 2.1.5 Elliptic

```
emodels = Table[TransferFunctionFactor@EllipticFilterModel[{n,  $\omega$ }, s], {n, 1, 7, 1},  
  { $\omega$ ,  $\omega_{\min}$ ,  $\omega_{\max}$ ,  $\Delta\omega$ }}];  
DGemodels = Table[TransferFunctionFactor@ToDiscreteTimeModel[EllipticFilterModel[{n,  $\omega$ }, s], 1],  
  {n, 1, 7, 1}, { $\omega$ ,  $\omega_{\min}$ ,  $\omega_{\max}$ ,  $\Delta\omega$ }}];
```

## 2.2 Funkcje pomocnicze

Pomocnicza funkcja by pobrać bieguny zdyskretyzowanych filtrów

```
ExtractPoles[tf_] := Module[{coeff},
  coeff = First[Flatten[ExpandNumerator@Numerator[tf]]];
  coeff = If[Length[coeff] > 0, coeff[[1]], coeff];
  (z /. Solve[Denominator@(tf/coeff) == 0, z])
]
```

Ustalamy ilość bitów do symulacji

```
bits = 6;
```

Przygotowujemy funkcję rysującą bieguny i zaznaczającą na czerwono te w których bieguny filtru zdyskretyzowanego wychodzą poza okrąg jednostkowy.

```
PlotPoles[poles_, poles2_] :=
  ListPlot[{Transpose[{Re[poles], Im[poles]}], Transpose[{Re[poles2], Im[poles2]}]},
    PlotRange → 1.2 {{-1, 1}, {-1, 1}}, PlotStyle → {PointSize[Large]},
    Background → If[Count[poles2, _? (Abs[#] ≥ 1 &), {1}] > 0, LightRed, White],
    PlotMarkers → {Automatic, Medium}, AxesOrigin → {0, 0}, Epilog → {Green, Circle[]},
    AspectRatio → Automatic]

AsymptoticallyStableQ[tfm_?ContinuousTimeModelQ] := If[
  Count[TransferFunctionPoles[tfm], Complex[x_?NonNegative, _] | x_?NonNegative, {3}] > 0,
  False, True]

AsymptoticallyStableQ[tfm_?DiscreteTimeModelQ] := If[
  Count[TransferFunctionPoles[tfm], _? (Abs[#] ≥ 1 &), {3}] > 0, False, True]
```

## 2.3 Dyskretyzacja współczynników filtru cyfrowego

### 2.3.1 Definicje

```
DiscretizeList[x_, max_, bits_] :=
  If[# ≥ 0, 1, -1] Round[(Abs[#]/max) (Power[2, bits - 1] - 1)] max / (Power[2, bits - 1] - 1) & /@ x;
DiscretizeComplexList[x_, y_, bits_] := Module[{xD, yD, coeffD, max},
  If[y == {}, {},
    max = Max[Abs[Join[Re@x, Im@x, Re@y, Im@y]]];
    xD = DiscretizeList[Re@x, max, bits] + i DiscretizeList[Im@x, max, bits];
    yD = DiscretizeList[Re@y, max, bits] + i DiscretizeList[Im@y, max, bits];
    {xD, yD}
  ];
DiscretizeModelCoeffs[tf_, bits_] := Module[{zeros, poles, zerosD, polesD},
  zeros = CoefficientList[Numerator[TransferFunctionExpand[tf][z]][[1, 1]], z];
  poles = CoefficientList[Denominator[TransferFunctionExpand[tf][z]][[1, 1]], z];
  {zerosD, polesD} = DiscretizeComplexList[zeros, poles, bits];
  Chop[FromDigits[Reverse[zerosD], z] / (FromDigits[Reverse[polesD], z])]
];
```

## 2.3.2 Testy

```
{a, c} = DiscretizeComplexList[{1, 2, 3}, {i, i 2, i 3}, 2]
{{0, 3, 3}, {0, 3 i, 3 i}}
```

Dyskretyzujemy na poziomie filtrów cyfrowych

```
buttModel = TransferFunctionExpand@DGbmodels[[2, 2]]
```

$$\left( \frac{0.0302379 + 0.0604758 z + 0.0302379 z^2}{(0.572371 + 0. i) - (1.45142 + 0. i) z + z^2} \right) \mathcal{T}_1$$

```
polesButt = TransferFunctionPoles[buttModel][[1, 1]]
```

```
{0.72571 - 0.213814 i, 0.72571 + 0.213814 i}
```

```
buttModelD = N@DiscretizeModelCoeffs[buttModel, bity]
```

$$\frac{0.04682 + 0.04682 z + 0.04682 z^2}{0.56184 - 1.45142 z + 0.98322 z^2}$$

```
polesButtD = ExtractPoles[buttModelD]
```

```
{0.738095 - 0.16323 i, 0.738095 + 0.16323 i}
```

## 2.3.3 Dyskretyzacja

```
DGbmodelsDc = Map[DiscretizeModelCoeffs[#, bity] &, DGbmodels, {2}];
```

```
DGc1modelsDc = Map[DiscretizeModelCoeffs[#, bity] &, DGc1models, {2}];
```

```
DGc2modelsDc = Map[DiscretizeModelCoeffs[#, bity] &, DGc2models, {2}];
```

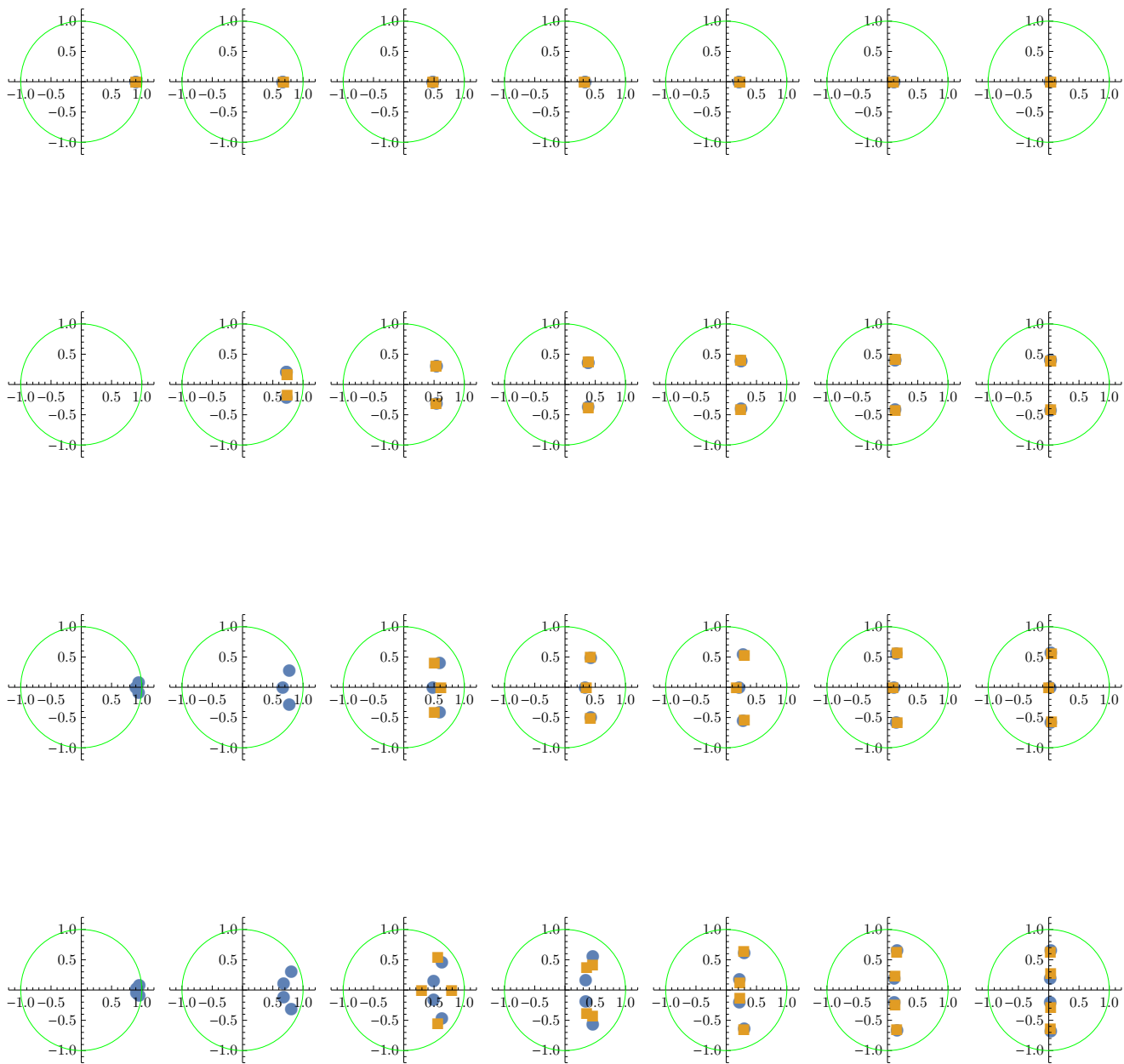
```
DGemodelsDc = Map[DiscretizeModelCoeffs[#, bity] &, DGemodels, {2}];
```

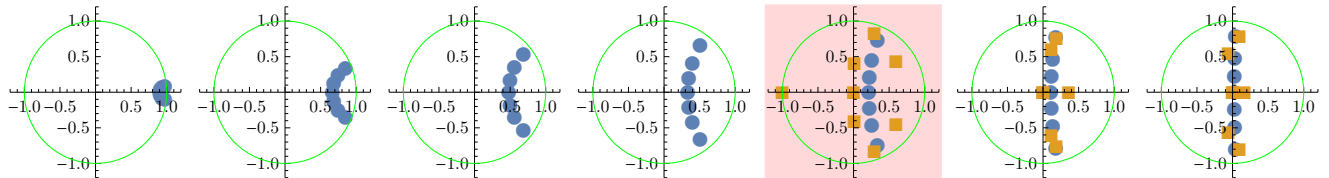
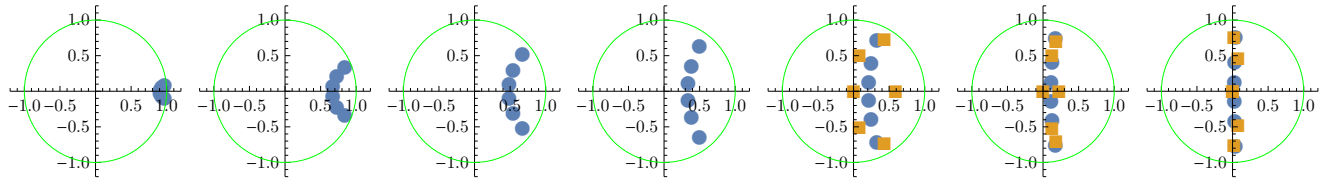
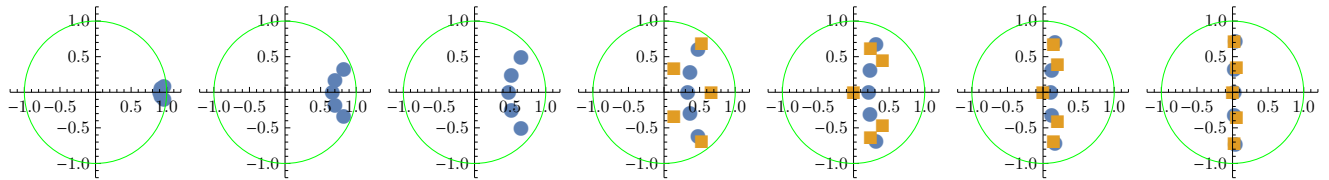
## 2.3.4 Porównanie położenia biegunów

## ★ Butterworth

W prawo rośnie częstotliwość, w dół rośnie rząd filtra.

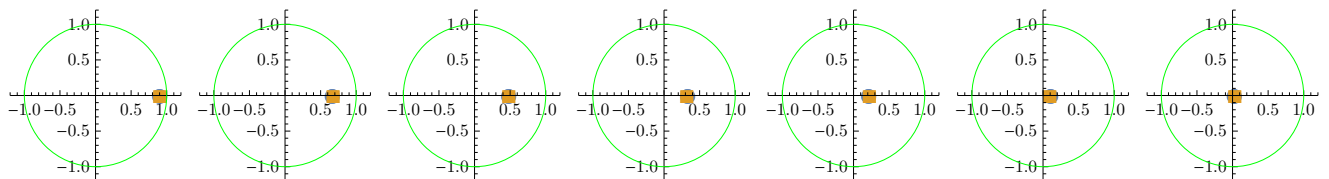
```
Grid@MapThread[PlotPoles[TransferFunctionPoles[#1][[1, 1]], ExtractPoles[#2]] &,
  {DGbmodels, DGbmodelsDc}, 2]
```

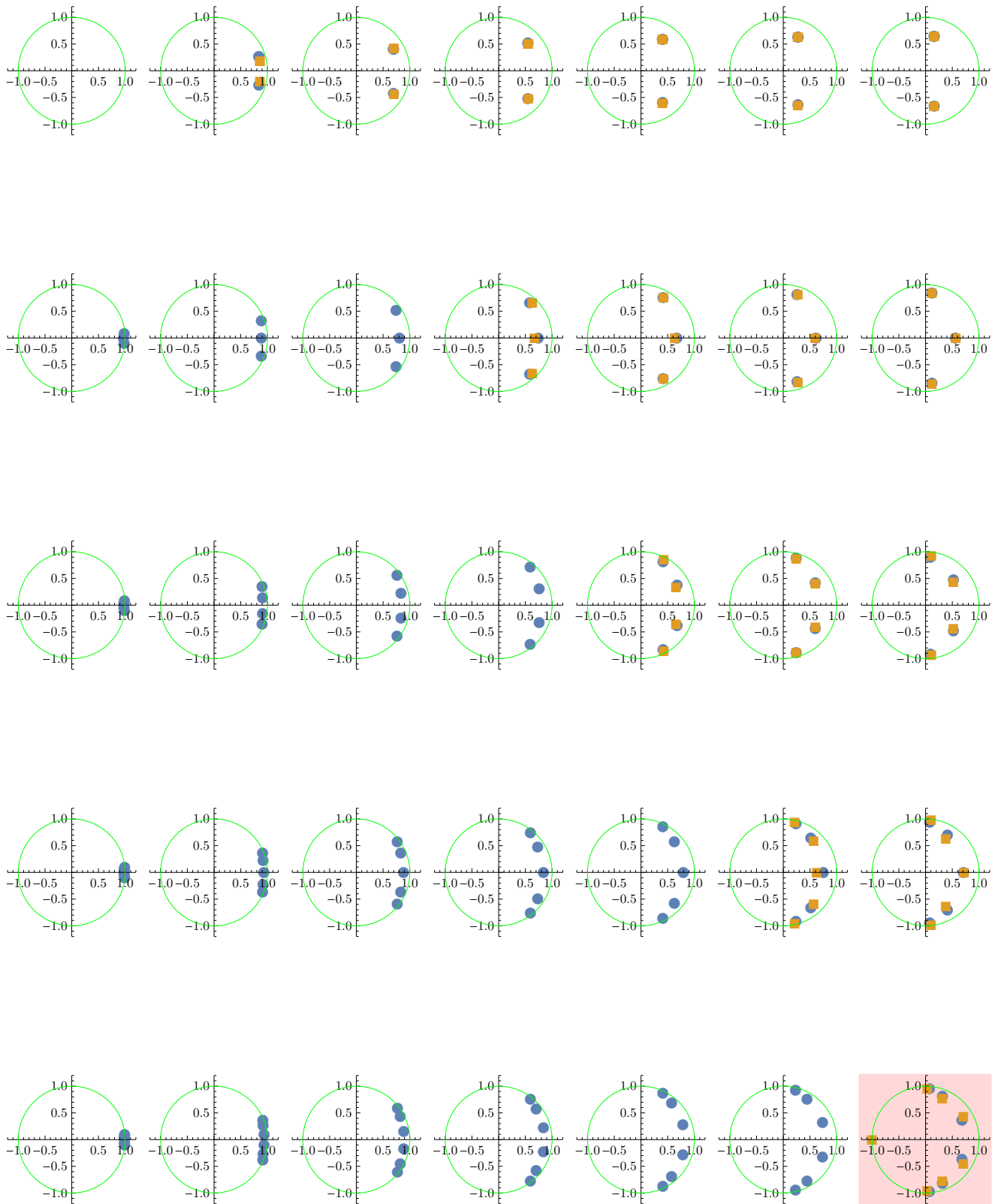


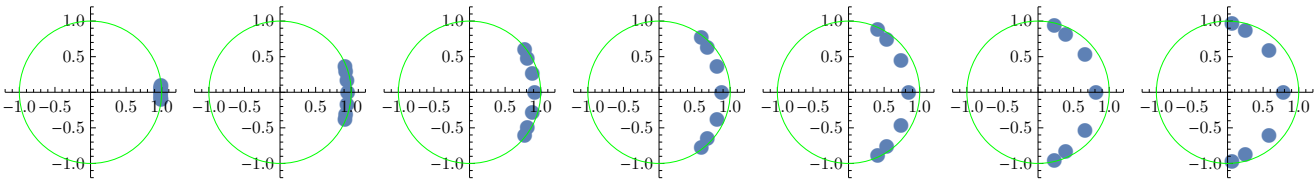


★ Chebyshev 1

```
Grid@MapThread[PlotPoles[TransferFunctionPoles[#1][[1, 1]], ExtractPoles[#2]] &,
  {DGc1models, DGc1modelsDc}, 2]
```

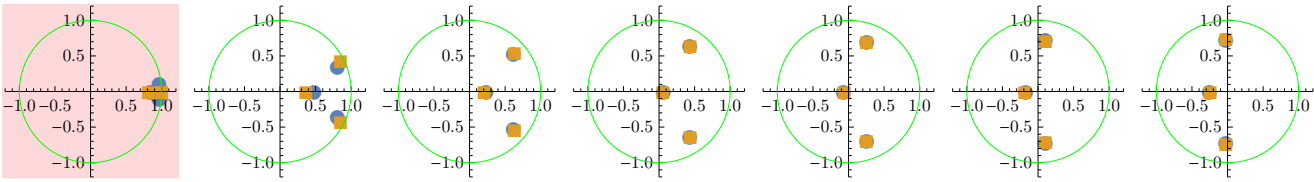
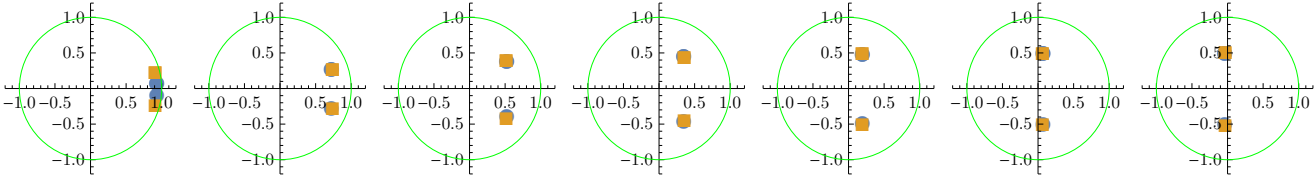
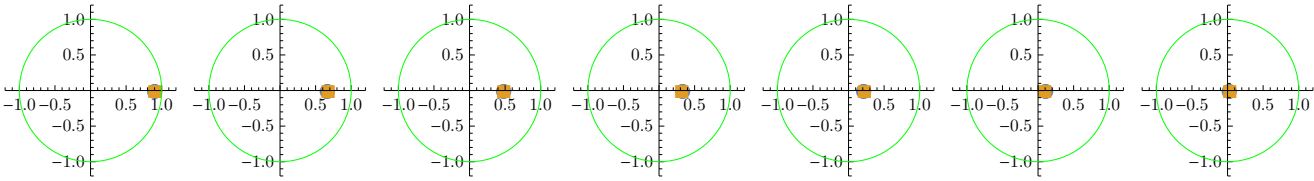






★ Chebyshev 2

```
Grid@MapThread[PlotPoles[TransferFunctionPoles[#1][[1, 1]], ExtractPoles[#2]] &,
  {Dgc2models, Dgc2modelsDc}, 2]
```

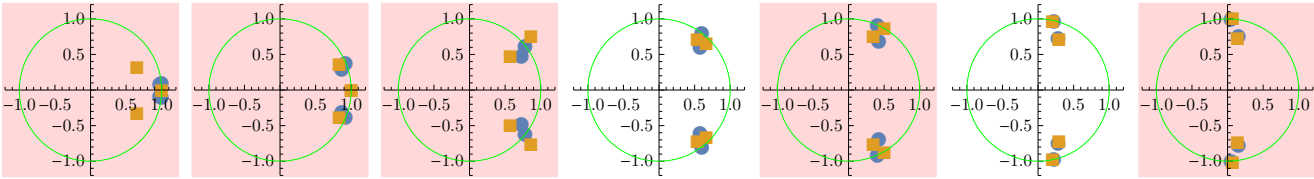
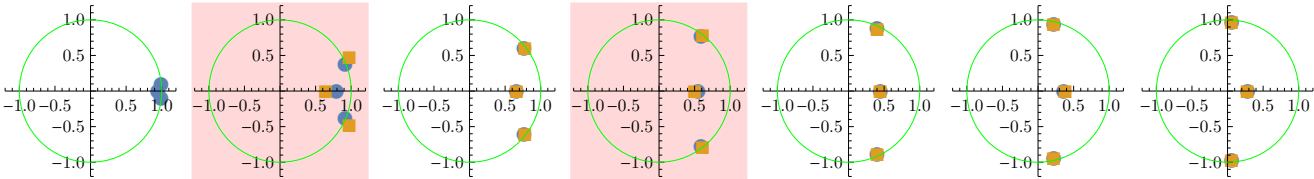
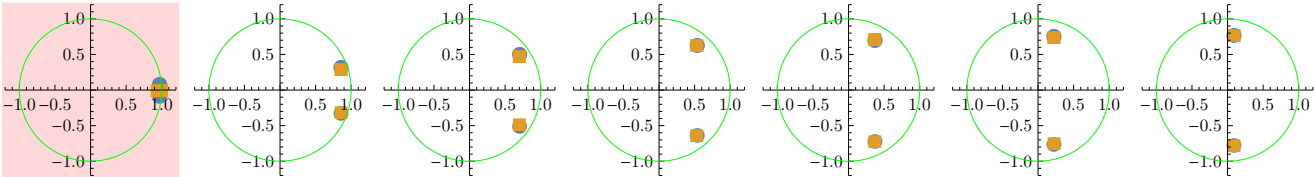
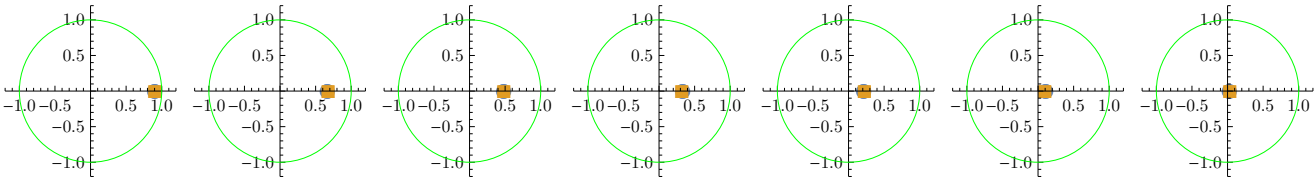


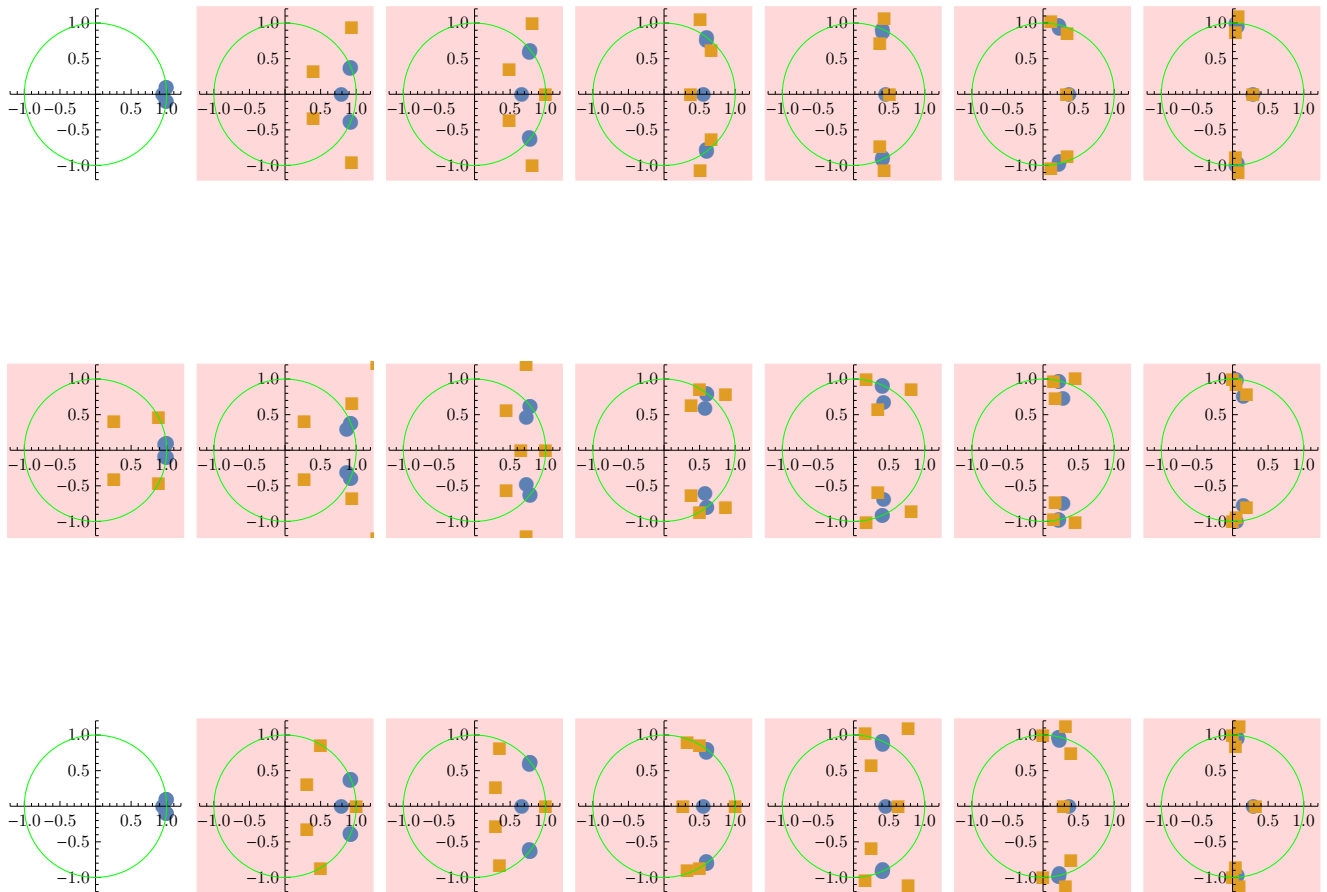




★ Elliptic

```
Grid@MapThread[PlotPoles[TransferFunctionPoles[#1][[1, 1]], ExtractPoles[#2]] &,
  {DGeomodels, DGeomodelsDc}, 2]
```





## 2.4 Dyskusja

Istnieje problem polegający na znikaniu licznika (a więc również całego filtru) widoczny jest on przy niskich częstotliwościach filtru Butterwortha i Chebysheva 1

Ponadto widać, iż filtry eliptyczne powyżej 3 rzędu robią się bardzo niestabilne (niektóre nie są zaznaczone na czerwono bo filtr znikł z powodów wspomnianych wyżej)

## 3 Główne wyniki dotyczące stabilności

W tej części zostaną przedstawione najważniejsze wyniki dla dyskretyzacji w której współczynniki licznika i mianownika są dyskretyzowane razem.

Wizualizacja stabilności filtrów rządzi się zasada jest ta sama - w dół rośnie rząd, w prawo rośnie częstość graniczna.

Promień pierścienia jest związany z liczbą bitów. Środkowy okrąg jest 5 bitowy, każdy kolejny 3 bity więcej, okręgów jest 9, zatem ostatni okrąg reprezentuje  $5 + 9 * 3 = 5 + 27 = 32$  bity. Kolor niebieski oznacza filtr stabilny, kolor pomarańczowy - niestabilny.

```

SP[p_] := If[Length[p] > 0, If[Count[p, _? (Abs[#] ≥ 1 &), {1}] > 0, Lighter[Orange], LightBlue],
  Black];

StableOrNot[p1_, p2_, p3_, p4_, p5_, p6_, p7_, p8_, p9_] := Graphics[{SP[p1], Disk[{0, 0}],
  EdgeForm[Directive[Dashed, Gray]], SP[p2], Disk[{0, 0}, {0.9, 0.9}],
  EdgeForm[Directive[Dashed, Gray]], SP[p3], Disk[{0, 0}, {0.8, 0.8}],
  EdgeForm[Directive[Dashed, Gray]], SP[p4], Disk[{0, 0}, {0.7, 0.7}],
  EdgeForm[Directive[Dashed, Gray]], SP[p5], Disk[{0, 0}, {0.6, 0.6}],
  EdgeForm[Directive[Dashed, Gray]], SP[p6], Disk[{0, 0}, {0.5, 0.5}],
  EdgeForm[Directive[Dashed, Gray]], SP[p7], Disk[{0, 0}, {0.4, 0.4}],
  EdgeForm[Directive[Dashed, Gray]], SP[p8], Disk[{0, 0}, {0.3, 0.3}],
  EdgeForm[Directive[Dashed, Gray]], SP[p9], Disk[{0, 0}, {0.2, 0.2}]}]

```

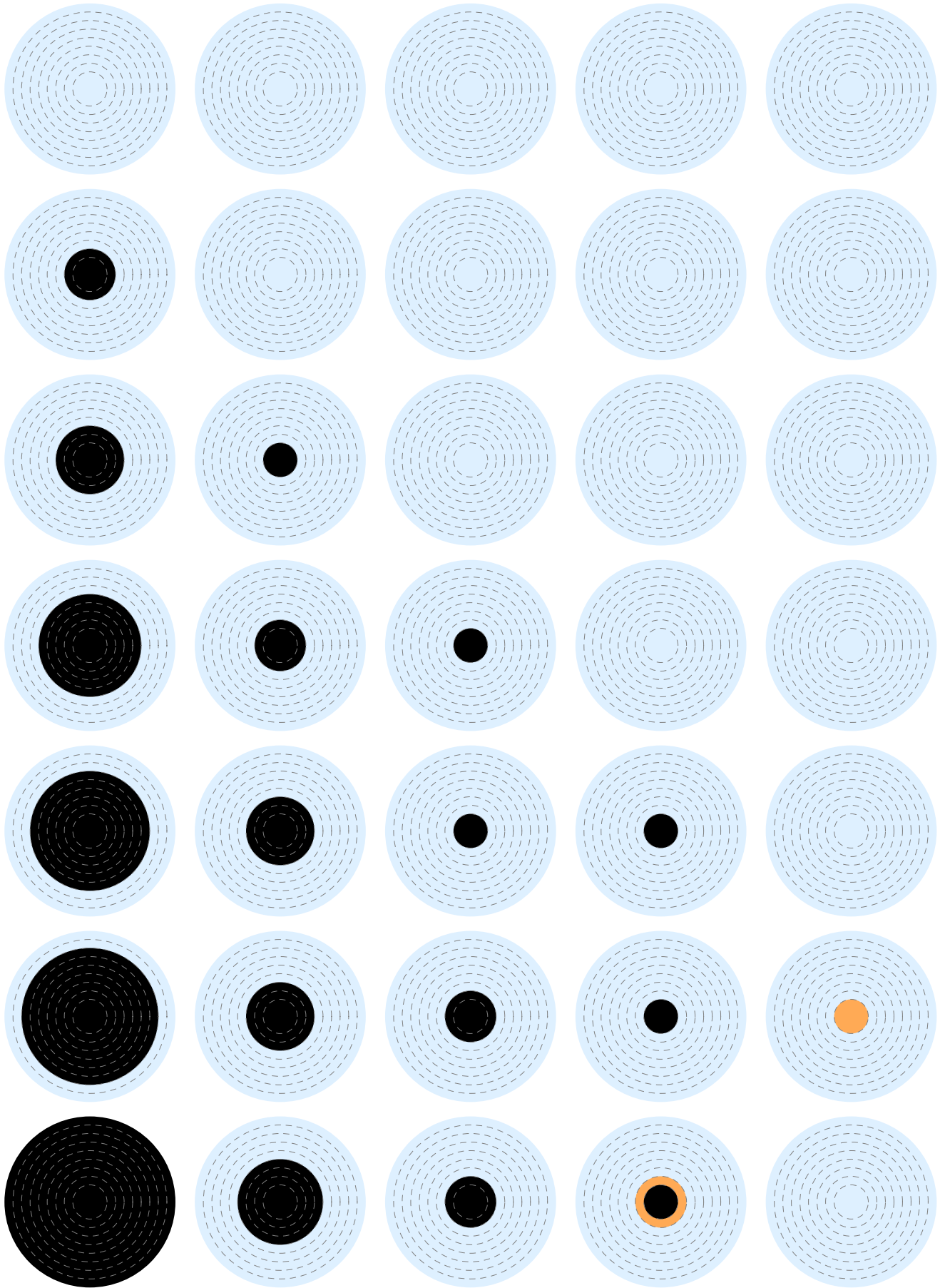
### 3.1 Butterworth

```

Allb = Table[Map[ExtractPoles[DiscretizeModelCoeffs[#, bits]] &, DGBmodels, {2}],
  {bits, 5, 32, 3}];

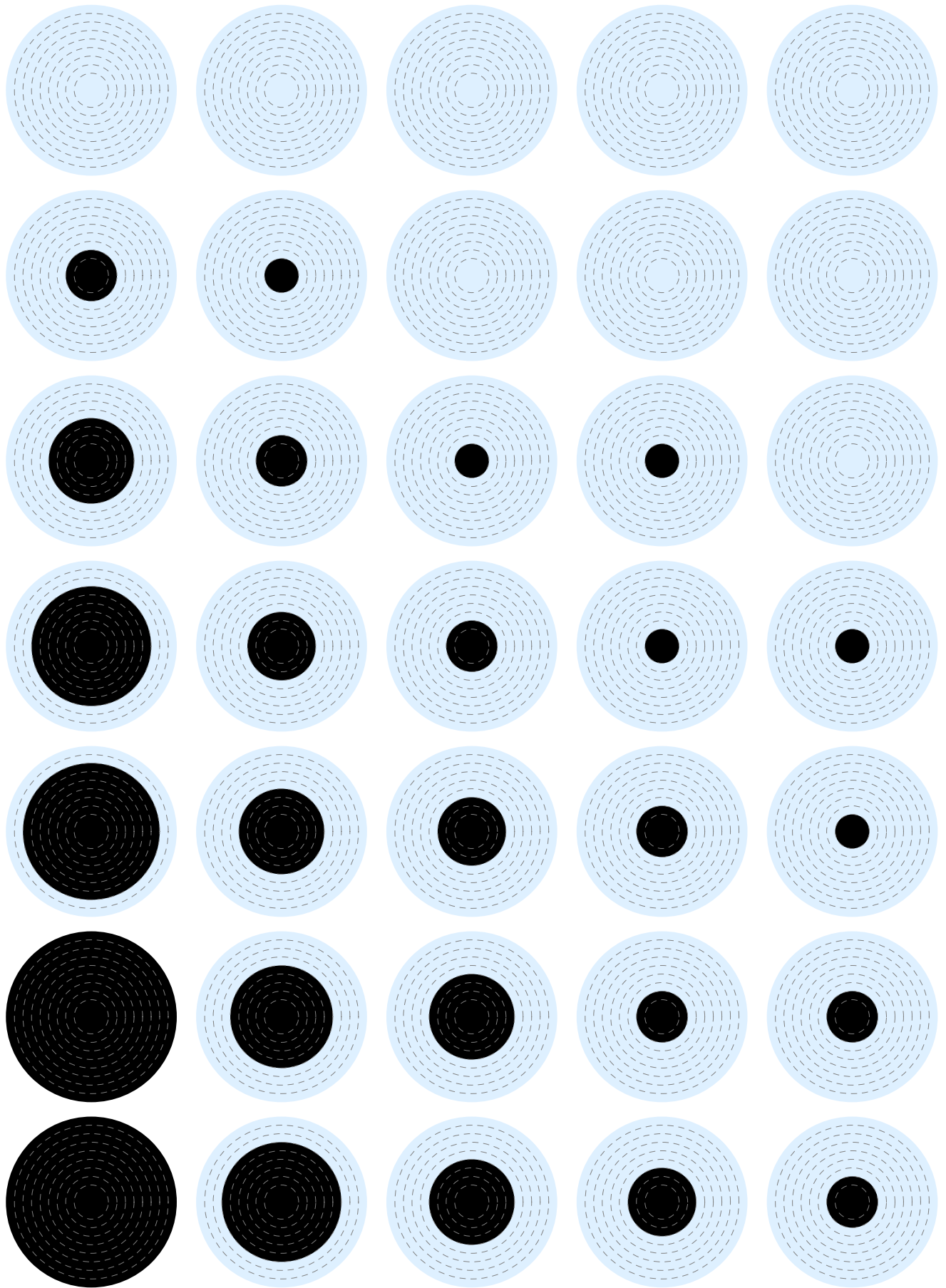
Grid[MapThread[StableOrNot[#, #9, #8, #7, #6, #5, #4, #3, #2, #1] &, Allb, 2], ItemSize → 10]

```



## 3.2 Chebyshev 1

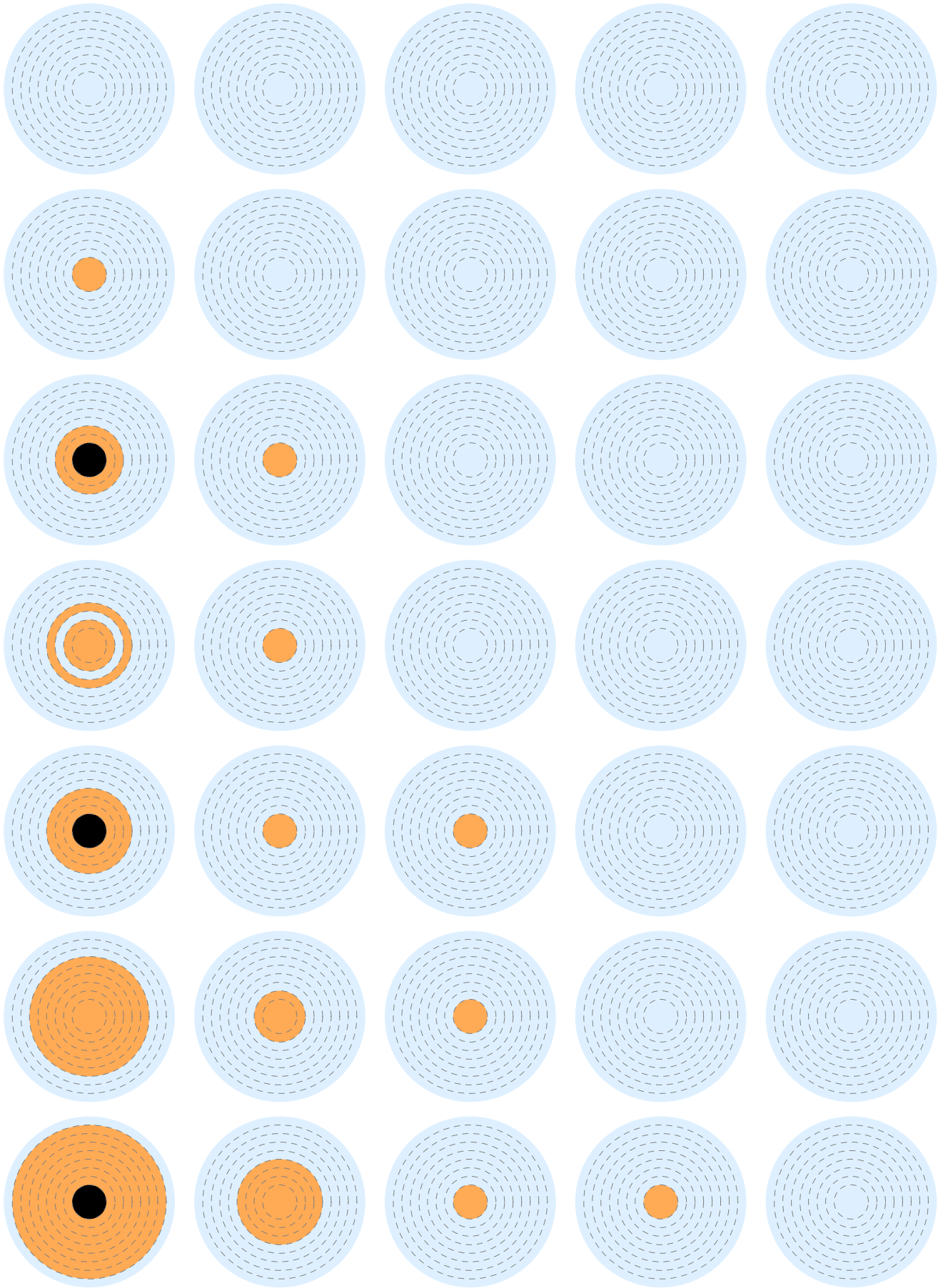
```
Allc1 = Table[Map[ExtractPoles[DiscretizeModelCoeffs[#, bits]] &, DGc1models, {2}],  
  {bits, 5, 32, 3}];  
  
Grid[MapThread[StableOrNot[#, #8, #7, #6, #5, #4, #3, #2, #1] &, Allc1, 2], ItemSize → 10]
```



### 3.3 Chebyshev 2

```
Allc2 = Table[Map[ExtractPoles[DiscretizeModelCoeffs[#, bits]] &, DGc2models, {2}],  
  {bits, 5, 32, 3}];  
Grid[MapThread[StableOrNot[#, #8, #7, #6, #5, #4, #3, #2, #1] &, Allc2, 2], ItemSize -> 10]
```





### 3.4 Eliptyczny

```
Alle = Table[Map[ExtractPoles[DiscretizeModelCoeffs[#, bits]] &, DGeModels, {2}],  
  {bits, 5, 32, 3}];  
Grid[MapThread[StableOrNot[#9, #8, #7, #6, #5, #4, #3, #2, #1] &, Alle, 2], ItemSize -> 10]
```

